

# Estimation non paramétrique pour les processus markoviens déterministes par morceaux

---

Romain Azaïs

1<sup>er</sup> Juillet 2013, Institut de Mathématiques de Bordeaux

---



## Plan de la soutenance

### 0 Introduction

- Vue d'ensemble de la thèse
- Processus markoviens déterministes par morceaux
- Problèmes d'estimation pour les PDMP

### 1 Estimation de la loi des temps inter-sauts d'un PDMP

### 2 Estimation récursive du noyau de transition d'un PDMP

### 3 Conclusion et perspectives



### Vue d'ensemble de la thèse

## Première partie : estimation d'un taux de saut

- 1 Estimation du taux de saut de processus de renouvellement
  - 📄 Nonparametric estimation of the jump rate for nonhomogeneous marked renewal processes (à paraître dans Annales de l'IHP, avec F. Dufour et A. Gégout-Petit)
  - 📄 A hidden renewal model for monitoring aquatic systems biosensors (soumis, avec R. Coudret et G. Durrieu)
- 2 Estimation de la loi des temps inter-sauts d'un PDMP
  - 📄 Nonparametric estimation of the conditional distribution of the inter-jumping times for piecewise-deterministic Markov processes (en révision, avec F. Dufour et A. Gégout-Petit)
  - 📦 Package `EstSimPDMP` disponible sur le site du CRAN



### Vue d'ensemble de la thèse

#### Première partie : estimation d'un taux de saut

- 1 Estimation du taux de saut de processus de renouvellement
  - 📖 Nonparametric estimation of the jump rate for nonhomogeneous marked renewal processes (à paraître dans Annales de l'IHP, avec F. Dufour et A. Gégout-Petit)
  - 📖 A hidden renewal model for monitoring aquatic systems biosensors (soumis, avec R. Coudret et G. Durrieu)
- 2 Estimation de la loi des temps inter-sauts d'un PDMP
  - 📖 Nonparametric estimation of the conditional distribution of the inter-jumping times for piecewise-deterministic Markov processes (en révision, avec F. Dufour et A. Gégout-Petit)
  - 📦 Package `EstSimPDMP` disponible sur le site du CRAN

#### Seconde partie : estimation d'une transition

- 3 Quantification optimale pour le modèle  $Y = f(\beta'X, \varepsilon)$ 
  - 📖 Optimal quantization applied to sliced inverse regression (paru dans JSPI, avec A. Gégout-Petit et J. Saracco)
- 4 Estimation du noyau de transition d'un PDMP
  - 📖 A recursive nonparametric estimator for the transition kernel of a piecewise-deterministic Markov process (en révision)



### Vue d'ensemble de la thèse

## Première partie : estimation d'un taux de saut

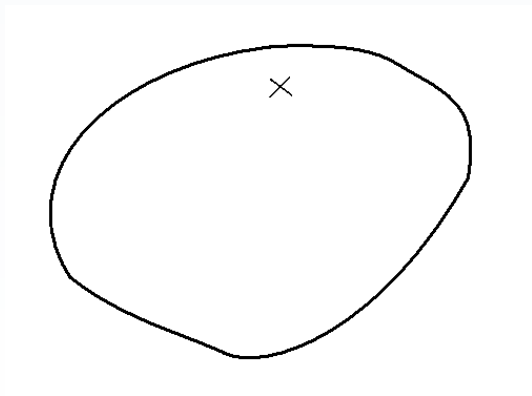
- 1 Estimation du taux de saut de processus de renouvellement
  - 📖 Nonparametric estimation of the jump rate for nonhomogeneous marked renewal processes (à paraître dans Annales de l'IHP, avec F. Dufour et A. Gégout-Petit)
  - 📖 A hidden renewal model for monitoring aquatic systems biosensors (soumis, avec R. Coudret et G. Durrieu)
- 2 Estimation de la loi des temps inter-sauts d'un PDMP
  - 📖 Nonparametric estimation of the conditional distribution of the inter-jumping times for piecewise-deterministic Markov processes (en révision, avec F. Dufour et A. Gégout-Petit)
  - 📦 Package `EstSimPDMP` disponible sur le site du CRAN

## Seconde partie : estimation d'une transition

- 3 Quantification optimale pour le modèle  $Y = f(\beta'X, \varepsilon)$ 
  - 📖 Optimal quantization applied to sliced inverse regression (paru dans JSPI, avec A. Gégout-Petit et J. Saracco)
- 4 Estimation du noyau de transition d'un PDMP
  - 📖 A recursive nonparametric estimator for the transition kernel of a piecewise-deterministic Markov process (en révision)

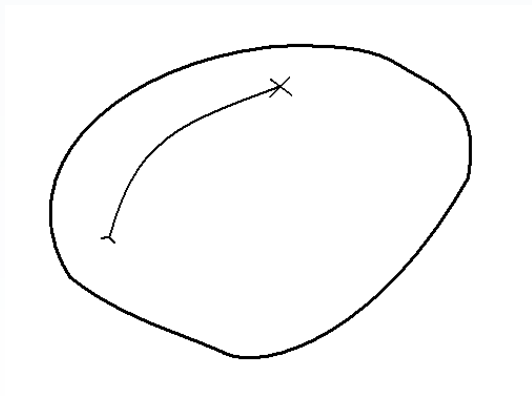


## Processus markoviens déterministes par morceaux



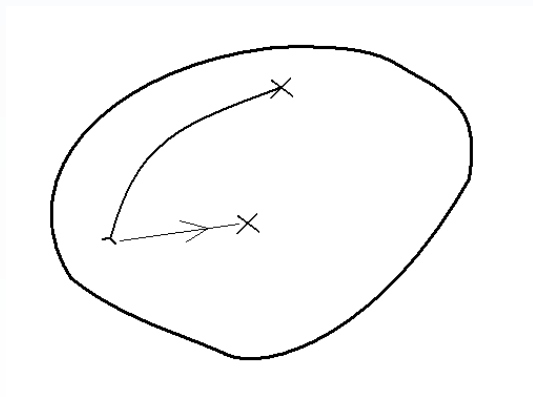


## Processus markoviens déterministes par morceaux





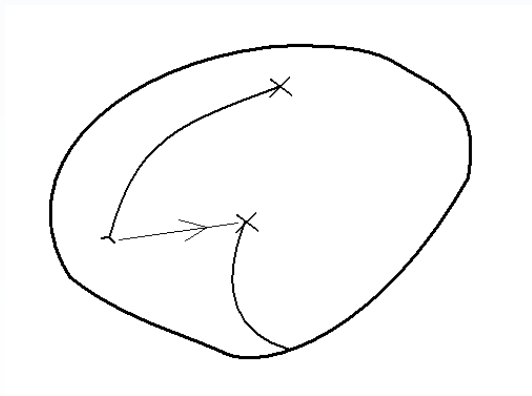
## Processus markoviens déterministes par morceaux





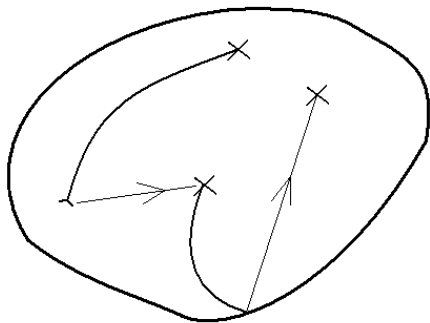


## Processus markoviens déterministes par morceaux





## Processus markoviens déterministes par morceaux





## Processus markoviens déterministes par morceaux

Un PDMP  $(X_t)$  défini sur un ouvert  $E$  d'un espace métrique est caractérisé par 3 ingrédients :

- $\Phi_x(t)$ , un flot déterministe,
- $\lambda(x)$ , un taux de saut,
- $Q(x, dy)$ , un noyau de transition.

Le temps déterministe d'atteinte de la frontière partant de  $x$  est

$$t^*(x) = \inf\{t > 0 : \Phi_x(t) \in \partial E\}.$$



## Processus markoviens déterministes par morceaux

Partant de  $X_0 = x$ , on détermine le premier temps de saut  $T_1$  selon

$$\mathbb{P}(T_1 > t) = \exp\left(-\int_0^t \lambda(\Phi_x(s)) ds\right) \mathbb{1}_{\{0 \leq t < t^*(x)\}}.$$

Entre 0 et  $T_1$ , le processus évolue selon le flot  $\Phi_x$ ,

$$\forall 0 \leq t < T_1, X_t = \Phi_x(t).$$

Au temps  $T_1$ , le processus « saute » selon le noyau  $Q$ ,

$$X_{T_1} \sim Q(\Phi_x(T_1), \cdot).$$

Et ainsi de suite...



## Chaîne immergée

On note  $T_n$  les temps de saut du processus.

- $(Z_n) = (X_{T_n})$  est la chaîne des positions du processus lors des sauts,
- $(S_n) = (T_n - T_{n-1})$  est la suite des temps inter-sauts.

Tout l'aléa est contenu dans le processus à temps discret  $(Z_n, S_n)$ .



## Applications des PDMP

Les sauts permettent de modéliser des changements d'«ambiance» intervenant à des instants aléatoires.

En **fiabilité**,

- le problème du réservoir,
- la corrosion sous des environnements changeants,
- la propagation de fissures.

En **biologie**,

- le modèle d'Hodgkin-Huxley généralisé,
- le mouvement d'une bactérie,
- la croissance d'une cellule.



## Problèmes inférentiels

Deux sources d'aléa à estimer :

- la loi des temps inter-sauts, caractérisée par le taux de saut  $\lambda$  ;
- la loi des sauts, caractérisée par le noyau de Markov  $Q$ .

Le flot est souvent donné par l'application.



## Problèmes inférentiels

Deux sources d'aléa à estimer :

- la loi des temps inter-sauts, caractérisée par le taux de saut  $\lambda$  ;
- la loi des sauts, caractérisée par le noyau de Markov  $Q$ .

Le flot est souvent donné par l'application.

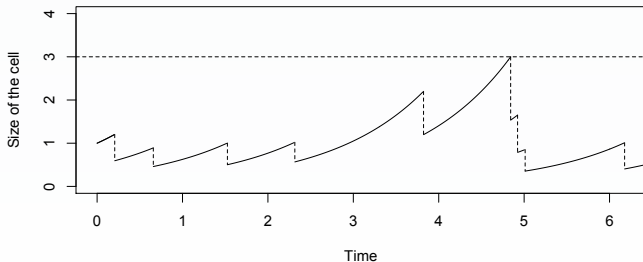
## Cadre statistique retenu

- Une trajectoire  $(Z_n, S_n)$  observée en temps long.
- Ergodicité de la chaîne de Markov  $(Z_n)$ .
- Estimation non paramétrique.





## Évolution de la taille d'une cellule au cours du temps





## Problèmes d'estimation pour les PDMP

Pour ce processus,

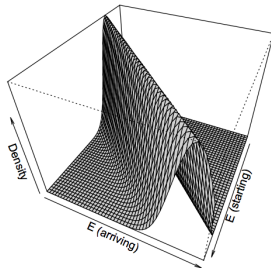
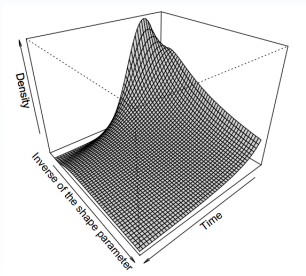
- $E = ]0, 3[$ ,
- $\Phi_x(t) = x \exp(\tau t)$ ,
- $Q(x, dy)$  est gaussien centré en  $x/2$ .

### Commentaires

- Si ça n'a pas eu lieu avant, une cellule se divise lorsqu'elle atteint une taille de 3.
- Équation déterministe de la croissance d'une cellule.
- Une cellule se divise en deux cellules filles d'à peu près même taille.



## Problèmes d'estimation pour les PDMP



Densité conditionnelle des temps inter-sauts (à gauche) et noyau de transition (à droite) du modèle de croissance-fragmentation.



## Plan de la soutenance

- 0 Introduction
- 1 **Estimation de la loi des temps inter-sauts d'un PDMP**
  - Stratégie et liens avec les processus de renouvellement
  - Estimation de  $\tilde{\lambda}$
  - Approximation et estimation de  $f$
  - Simulations
- 2 Estimation récursive du noyau de transition d'un PDMP
- 3 Conclusion et perspectives



## Stratégie et liens avec les processus de renouvellement

**Estimer la loi de la durée  $S_n$  sachant  $Z_{n-1} = x$**

Cette loi

- ne dépend pas de  $n$ ,
- a une masse en  $t^*(x)$ ,
- a une partie absolument continue sur  $[0, t^*(x)[$  donnée par

$$f(x, t) = \lambda(\Phi_x(t)) \exp\left(-\int_0^t \lambda(\Phi_x(s)) ds\right).$$



## Stratégie et liens avec les processus de renouvellement

**Estimer la loi de la durée  $S_n$  sachant  $Z_{n-1} = x$**

Cette loi

- ne dépend pas de  $n$ ,
- a une masse en  $t^*(x)$ ,
- a une partie absolument continue sur  $[0, t^*(x)[$  donnée par

$$f(x, t) = \lambda(\Phi_x(t)) \exp\left(-\int_0^t \lambda(\Phi_x(s)) ds\right).$$

## Cadre de travail

- Espace d'état du PDMP : un ouvert  $E$  d'un espace métrique.
- Estimation non paramétrique à partir d'une observation de la suite  $(Z_n, S_n)$  en temps long.



## Modèle multiplicatif d'Aalen

$N(t)$  processus de comptage tel que

$$M(t) = N(t) - \int_0^t \lambda(s)Y(s)ds$$

est une martingale. Dans ce cadre,

$$\hat{\Lambda}(t) = \int_0^t \frac{dN(s)}{Y(s)}$$

est l'estimateur de Nelson-Aalen de  $\Lambda(t) = \int_0^t \lambda(s)ds$ .



## Stratégie et liens avec les processus de renouvellement

Pour tout entier  $i$ , le processus

$$t \mapsto \mathbb{1}_{\{S_{i+1} \leq t\}} - \int_0^t \lambda(\Phi_{Z_i}(s)) \mathbb{1}_{\{S_{i+1} \geq s\}} ds$$

est une **martingale** dans la filtration  $(\sigma(Z_i) \wedge \mathcal{F}_t^{i+1})_{0 \leq t < t^*(Z_i)}$ ,

où  $(\mathcal{F}_t^{i+1})$  est la filtration naturelle associée au processus

$$t \mapsto \mathbb{1}_{\{S_{i+1} \leq t\}}.$$

**Suite naturelle** : sommer ces martingales de telle sorte que la somme reste une martingale.





## Stratégie et liens avec les processus de renouvellement

### Cas des processus « à flot constant »

Si le flot est constant,

$$\mathbb{E} [g(Z_{n+1})|Z_n, S_{n+1}] = \mathbb{E} [g(Z_{n+1})|Z_n].$$



### Cas des processus « à flot constant »

Si le flot est constant,

$$\mathbb{E} [g(Z_{n+1})|Z_n, S_{n+1}] = \mathbb{E} [g(Z_{n+1})|Z_n].$$

Dans ce cas, on peut montrer que

$$t \mapsto \sum_{i=0}^{n-1} \left[ \mathbb{1}_{\{S_{i+1} \leq t\}} - \int_0^t \lambda(\Phi_{Z_i}(s)) \mathbb{1}_{\{S_{i+1} \geq s\}} ds \right]$$

est une martingale dans la filtration

$$\left( \sigma(Z_0, \dots, Z_{n-1}) \vee \bigvee_{i=0}^{n-1} \mathcal{F}_t^{i+1} \right).$$



## Cas général

La connaissance de  $Z_{n+1}$  peut apporter de l'information sur  $S_{n+1}$ .

- Exemple, si  $Q(x, \cdot) = \delta_{\{x\}}$  et flot injectif. Sachant  $Z_n$  et  $Z_{n+1}$ , la loi de  $S_{n+1}$  est une Dirac en l'unique  $t$  tel que

$$\Phi_{Z_n}(t) = Z_{n+1}.$$

- Cette difficulté n'apparaît pas pour les processus de renouvellement marqués.

→ On va étudier  $S_{n+1}$  conditionnellement à  $Z_n$  et  $Z_{n+1}$ .



### Loi conditionnelle de $S_{n+1}$ sachant $Z_n$ et $Z_{n+1}$

Hypothèse :  $Q$  admet une densité  $q$  par rapport à une mesure  $\mu$ .

On montre que

$$\mathbb{P}(S_{n+1} > t | Z_n, Z_{n+1}) = \tilde{G}(Z_n, Z_{n+1}, t) \mathbb{1}_{\{0 \leq t < t^*(Z_n)\}},$$

où  $\tilde{G}(x, y, t)$  est la fonction de survie associée au taux

$$\tilde{\lambda}(x, y, t) = \frac{f(x, t)q(\Phi_x(t), y)}{p(x, y, t)},$$

avec

$$p(x, y, t) = \int_t^{t^*(x)} f(x, t)q(\Phi_x(t), y) + G(x, t^*(x))q(\Phi_x(t^*(x)), y).$$



## Stratégie et liens avec les processus de renouvellement

Et on a la structure de martingale recherchée : le processus

$$t \mapsto \sum_{i=0}^{n-1} \left[ \mathbb{1}_{\{S_{i+1} \leq t\}} - \int_0^t \tilde{\lambda}(Z_i, Z_{i+1}, s) \mathbb{1}_{\{S_{i+1} \geq s\}} ds \right]$$

est une **martingale** dans la filtration

$$\left( \sigma(Z_0, \dots, Z_n) \vee \bigvee_{i=0}^{n-1} \mathcal{F}_t^{i+1} \right).$$



## Stratégie et liens avec les processus de renouvellement

Et on a la structure de martingale recherchée : le processus

$$t \mapsto \sum_{i=0}^{n-1} \left[ \mathbb{1}_{\{S_{i+1} \leq t\}} - \int_0^t \tilde{\lambda}(Z_i, Z_{i+1}, s) \mathbb{1}_{\{S_{i+1} \geq s\}} ds \right]$$

est une **martingale** dans la filtration

$$\left( \sigma(Z_0, \dots, Z_n) \vee \bigvee_{i=0}^{n-1} \mathcal{F}_t^{i+1} \right).$$

→ Estimation (d'une approximation) de  $\tilde{\lambda}(x, y, t)$ .



## Stratégie et liens avec les processus de renouvellement

Et on a la structure de martingale recherchée : le processus

$$t \mapsto \sum_{i=0}^{n-1} \left[ \mathbb{1}_{\{S_{i+1} \leq t\}} - \int_0^t \tilde{\lambda}(Z_i, Z_{i+1}, s) \mathbb{1}_{\{S_{i+1} \geq s\}} ds \right]$$

est une **martingale** dans la filtration

$$\left( \sigma(Z_0, \dots, Z_n) \vee \bigvee_{i=0}^{n-1} \mathcal{F}_t^{i+1} \right).$$

→ Estimation (d'une approximation) de  $\tilde{\lambda}(x, y, t)$ .

→ Lien entre la densité d'intérêt  $f(x, t)$  et cette approximation.



### Estimation de $\tilde{\lambda}$

**Conséquence** : si le noyau  $Q$  charge un ensemble discret  $\mathcal{A}$ , pour tous  $x, y \in \mathcal{A}$ , le compensateur du processus de comptage

$$t \mapsto \sum_{i=0}^{n-1} \mathbb{1}_{\{S_{i+1} \leq t\}} \mathbb{1}_{\{Z_i = x\}} \mathbb{1}_{\{Z_{i+1} = y\}}$$

est

$$t \mapsto \int_0^t \tilde{\lambda}(x, y, s) \left[ \sum_{i=0}^{n-1} \mathbb{1}_{\{S_{i+1} \geq s\}} \mathbb{1}_{\{Z_i = x\}} \mathbb{1}_{\{Z_{i+1} = y\}} \right] ds.$$

→ Hypothèse de **modèle à intensité multiplicative** vérifiée.





## Estimation de $\tilde{\lambda}$

Dans le cas général, on introduit une approximation  $l(A, B, s)$  de  $\tilde{\lambda}(x, y, s)$  pour  $x \in A$  et  $y \in B$  :

$$M_{A,B}^{(n)}(t) = \sum_{i=0}^{n-1} \mathbb{1}_{\{S_{i+1} \leq t\}} \mathbb{1}_{\{Z_i \in A, Z_{i+1} \in B\}} \\ - \int_0^t \sum_{i=0}^{n-1} \tilde{\lambda}(Z_i, Z_{i+1}, s) \mathbb{1}_{\{S_{i+1} \geq s\}} \mathbb{1}_{\{Z_i \in A, Z_{i+1} \in B\}} ds,$$



## Estimation de $\tilde{\lambda}$

Dans le cas général, on introduit une approximation  $l(A, B, s)$  de  $\tilde{\lambda}(x, y, s)$  pour  $x \in A$  et  $y \in B$  :

$$M_{A,B}^{(n)}(t) = \sum_{i=0}^{n-1} \mathbb{1}_{\{S_{i+1} \leq t\}} \mathbb{1}_{\{Z_i \in A, Z_{i+1} \in B\}} - \int_0^t l(A, B, s) Y_{A,B}^{(n)}(s) ds \\ - \int_0^t \sum_{i=0}^{n-1} \left( \tilde{\lambda}(Z_i, Z_{i+1}, s) - l(A, B, s) \right) \mathbb{1}_{\{S_{i+1} \geq s\}} \mathbb{1}_{\{Z_i \in A, Z_{i+1} \in B\}} ds,$$

$$\text{où } Y_{A,B}^{(n)}(s) = \sum_{i=0}^{n-1} \mathbb{1}_{\{S_{i+1} \geq s\}} \mathbb{1}_{\{Z_i \in A, Z_{i+1} \in B\}}.$$



## Estimation de $\tilde{\lambda}$

### Choix de $l(A, B, t)$

- Le terme de reste doit aller vers 0.
- $l(A, B, t)$  doit approcher la fonction qui nous intéresse :  $\tilde{\lambda}(x, y, t)$ .



## Estimation de $\tilde{\lambda}$

### Choix de $l(A, B, t)$

- Le terme de reste doit aller vers 0.
- $l(A, B, t)$  doit approcher la fonction qui nous intéresse :  $\tilde{\lambda}(x, y, t)$ .

$$l(A, B, t) = \frac{\int_{A \times B} \tilde{f}(x, y, t) \tilde{\nu}(dx \times dy)}{\int_{A \times B} \tilde{G}(x, y, t) \tilde{\nu}(dx \times dy)},$$

où  $\tilde{\nu}$  est la loi invariante du couple  $(Z_n, Z_{n+1})$ .

→ Il s'agit d'une « moyennisation spatiale » de  $\tilde{\lambda}(x, y, t)$  contre la loi invariante.



## Estimation de $\tilde{\lambda}$

### Estimation de $l(A, B, t)$

On passe par l'estimation de  $L(A, B, t) = \int_0^t l(A, B, s) ds$ ,

$$\hat{L}_n(A, B, t) - L_n^*(A, B, t) = \widetilde{M}_{A,B}^{(n)}(t) + a_n(t),$$

où  $\hat{L}_n(A, B, t)$  est l'estimateur de Nelson-Aalen.



## Estimation de $\tilde{\lambda}$

### Estimation de $l(A, B, t)$

On passe par l'estimation de  $L(A, B, t) = \int_0^t l(A, B, s) ds$ ,

$$\widehat{L}_n(A, B, t) - L_n^*(A, B, t) = \widetilde{M}_{A,B}^{(n)}(t) + a_n(t),$$

où  $\widehat{L}_n(A, B, t)$  est l'estimateur de Nelson-Aalen.

Lissage de  $\widehat{L}_n(A, B, t)$  pour obtenir  $\widehat{l}_n(A, B, t)$ ,

$$\sup_{r_1 \leq t \leq r_2} \left| \widehat{l}_n(A, B, t) - l(A, B, t) \right| \xrightarrow{\mathbb{P}} 0.$$



## Approximation et estimation de $f$

### Lien entre la densité d'intérêt $f$ et l'approximation $l$ de $\tilde{\lambda}$

Pour  $x \in A$ , le lien entre  $f$  et  $l$  est donné par

$$\left| f(x, t) - \sum_k l(A, B_k, t) P(A, B_k, t) \right| \leq C \max_k \text{diam}(A \times B_k),$$

où  $(B_k)$  est une partition (finie) de  $E$ ,

et où la fonction  $P(A, B_k, t)$  est définie comme la probabilité conditionnelle

$$\mathbb{P}_\nu(S_1 > t, Z_1 \in B_k | Z_0 \in A)$$

sous la mesure invariante  $\nu$  de  $(Z_n)$ .



## Approximation et estimation de $f$

On approche  $f(x, t)$  par  $f(A, t) = \sum_k l(A, B_k, t) P(A, B_k, t)$

et on estime  $f(A, t)$  par  $\hat{f}_n(A, t) = \sum_k \hat{l}_n(A, B_k, t) \hat{P}_n(A, B_k, t),$

$$\text{où } \hat{P}_n(A, B_k, t) = \frac{\frac{1}{n} \sum_{j=0}^{n-1} \mathbb{1}_{\{S_{j+1} > t\}} \mathbb{1}_{\{Z_{j+1} \in B_k\}} \mathbb{1}_{\{Z_j \in A\}}}{\frac{1}{n} \sum_{j=0}^{n-1} \mathbb{1}_{\{Z_j \in A\}}}$$

estime la probabilité conditionnelle  $\mathbb{P}_\nu(S_1 > t, Z_1 \in B_k | Z_0 \in A).$





## Approximation et estimation de $f$

On montre que, pour tout  $0 < t < \inf_{x \in A} t^*(x)$ , on a

$$\sup_{0 \leq s \leq t} \left| \widehat{P}_n(A, B_k, s) - \mathbb{P}_\nu(S_1 > t, Z_1 \in B_k | Z_0 \in A) \right| \xrightarrow{p.s.} 0.$$



## Approximation et estimation de $f$

On montre que, pour tout  $0 < t < \inf_{x \in A} t^*(x)$ , on a

$$\sup_{0 \leq s \leq t} \left| \widehat{P}_n(A, B_k, s) - \mathbb{P}_\nu(S_1 > t, Z_1 \in B_k | Z_0 \in A) \right| \xrightarrow{p.s.} 0.$$

→ Convergence (uniforme) en probabilité de  $\widehat{f}_n(A, t)$  vers

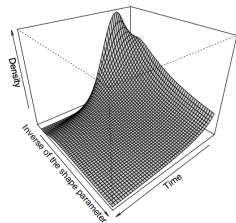
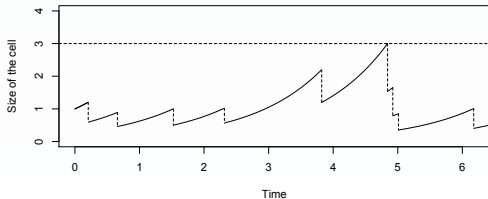
$$f(A, t) = \sum_k l(A, B_k, t) \mathbb{P}_\nu(Z_1 \in B_k, S_1 > t | Z_0 \in A),$$

qui est une approximation aussi précise que l'on veut de  $f(x, t)$ .



## Simulations

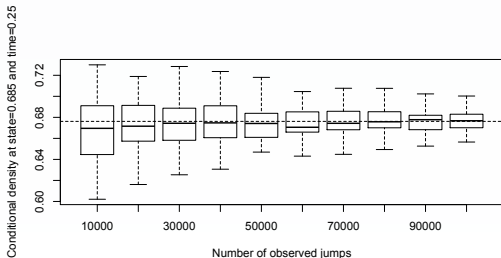
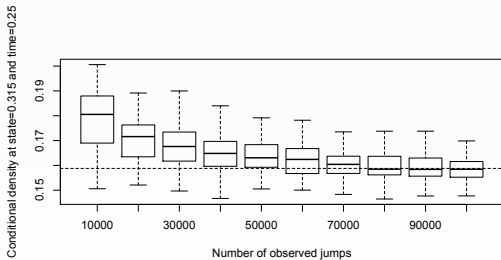
### Évolution de la taille d'une cellule au cours du temps





# 1 – Estimation de la loi des temps inter-sauts d'un PDMP

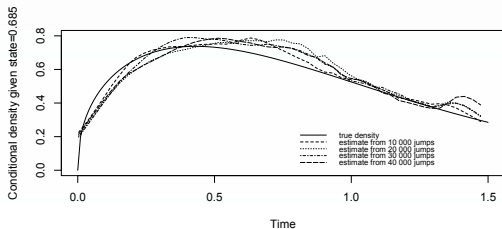
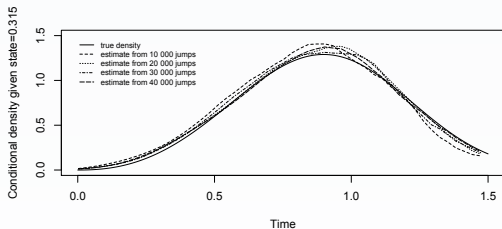
## Simulations





# 1 – Estimation de la loi des temps inter-sauts d'un PDMP

## Simulations





## Plan de la soutenance

- 0 Introduction
- 1 Estimation de la loi des temps inter-sauts d'un PDMP
- 2 Estimation récursive du noyau de transition d'un PDMP**
  - Stratégie
  - Le dénominateur
  - Le numérateur
  - Simulations
- 3 Conclusion et perspectives



### Stratégie

**Estimer la loi de  $Z_n$  sachant  $Z_n^- = \Phi_{Z_{n-1}}(S_n)$**

Le noyau  $Q$  décrit la transition de la position juste avant le saut  $Z_n^-$  vers la position lors du saut  $Z_n$ ,

$$Q(x, A) = \mathbb{P}(Z_n \in A | Z_n^- = x).$$



### Stratégie

**Estimer la loi de  $Z_n$  sachant  $Z_n^- = \Phi_{Z_{n-1}}(S_n)$**

Le noyau  $Q$  décrit la transition de la position juste avant le saut  $Z_n^-$  vers la position lors du saut  $Z_n$ ,

$$Q(x, A) = \mathbb{P}(Z_n \in A | Z_n^- = x).$$

### Cadre de travail

- PDMP défini sur un ouvert  $E$  de  $\mathbb{R}^d$ .
- Existence d'une densité,  $Q(x, dy) = q(x, y)dy$ .
- Estimation non paramétrique à partir d'une observation du processus en temps long.





### Stratégie

**Idée** (comme pour estimer le noyau d'une chaîne de Markov)

Écrire  $q(x, y)$  comme le rapport

$$\frac{\text{Loi invariante du couple } (Z_n^-, Z_n)}{\text{Loi invariante de } Z_n^-}.$$



### Stratégie

**Idée** (comme pour estimer le noyau d'une chaîne de Markov)

Écrire  $q(x, y)$  comme le rapport

$$\frac{\text{Loi invariante du couple } (Z_n^-, Z_n)}{\text{Loi invariante de } Z_n^-}.$$

Si on y parvient, un estimateur récursif naturel de  $q(x, y)$  est

$$\hat{q}_n(x, y) = \frac{\frac{1}{n} \sum_{j=1}^{n+1} \frac{1}{w_j^{2d}} K\left(\frac{Z_j^- - x}{w_j^d}\right) K\left(\frac{Z_j^- - y}{w_j^d}\right)}{\frac{1}{n} \sum_{j=1}^{n+1} \frac{1}{v_j^d} K\left(\frac{Z_j^- - x}{v_j}\right)}.$$



### Le dénominateur

## Estimation de la loi invariante de $(Z_n^-)$

Plusieurs difficultés apparaissent :

- L'espace d'état de  $(Z_n^-)$  est  $\overline{E}$  (comportement à la frontière à distinguer).
- Existence et structure de sa loi invariante ?
- Le noyau  $\mathcal{R}$  de  $(Z_n^-)$  n'est pas connu *a priori*.



### Le dénominateur

## Estimation de la loi invariante de $(Z_n^-)$

Plusieurs difficultés apparaissent :

- L'espace d'état de  $(Z_n^-)$  est  $\overline{E}$  (comportement à la frontière à distinguer).
- Existence et structure de sa loi invariante ?
- Le noyau  $\mathcal{R}$  de  $(Z_n^-)$  n'est pas connu *a priori*.

Condition de Doeblin  $\rightarrow$  ergodicité de la chaîne  $(Z_n^-)$  et existence d'une unique mesure invariante  $\pi$ .



### Le dénominateur

Sous des conditions sur le flot, le taux de saut, la frontière de  $E$ , on peut montrer que  $\mathcal{R}$  admet une densité sur  $E$ ,

$$\mathcal{R}(y, B) = \int_{B \cap E} r(y, z) dz + \mathcal{R}(y, B \cap \partial E),$$

où  $r(y, z) = \int_0^{-t^-(z)} q(y, \Phi_z(-s)) f(\Phi_z(-s), s) D\Phi_z(-s) ds$ .



### Le dénominateur

Sous des conditions sur le flot, le taux de saut, la frontière de  $E$ , on peut montrer que  $\mathcal{R}$  admet une densité sur  $E$ ,

$$\mathcal{R}(y, B) = \int_{B \cap E} r(y, z) dz + \mathcal{R}(y, B \cap \partial E),$$

où  $r(y, z) = \int_0^{-t^-(z)} q(y, \Phi_z(-s)) f(\Phi_z(-s), s) D\Phi_z(-s) ds$ .

Conséquence immédiate :  $\pi$  admet une densité sur  $E$ ,

$$\pi(B) = \int_{B \cap E} p(x) dx + \pi(B \cap \partial E)$$

avec  $p(x) = \int_{\bar{E}} \pi(dy) r(y, x)$ .



### Le dénominateur

**Hypothèses** :  $K$  noyau borné à support borné et  $v_j = v_1 j^{-\alpha}$ .

On montre que, lorsque  $0 < \alpha d < 1$ ,

$$\hat{p}_n(x) = \frac{1}{n} \sum_{j=1}^{n+1} \frac{1}{v_j^d} K \left( \frac{Z_j^- - x}{v_j} \right) \xrightarrow{p.s.} p(x).$$

Clés : existence d'une densité pour le noyau  $\mathcal{R}$  et loi des grands nombres pour les martingales.



### Le numérateur

#### Estimation de la loi invariante de $(Z_n^-, Z_n)$

- L'espace d'état de  $(Z_n^-, Z_n)$  est  $\bar{E} \times E$ .
- Le noyau de cette chaîne n'admet pas de densité sur  $E^2$  :  
conditionnellement à  $Z_n, Z_{n+1}^-$  se trouve sur la courbe de  $\mathbb{R}^d$  définie par le flot  $\Phi_{Z_n}(t)$ .
- La loi invariante de  $(Z_n^-, Z_n)$  est bien à densité sur  $E^2$ .

→ technique plus universelle, mais aussi plus restrictive.





### Le numérateur

Ergodicité de  $(Z_n^-) \rightarrow$  ergodicité du couple  $(Z_n^-, Z_n)$ , et sa loi invariante  $\eta$  est donnée par

$$\eta(A \times B) = \int_{A \times B} q(z, y) \pi(dz) dy.$$

Densité de  $\pi$  sur  $E \rightarrow$  densité de  $\eta$  sur  $E^2$ , et

$$\eta(A \times B) = \int_{A \times B} h(z, y) dz dy,$$

avec  $h(z, y) = q(z, y)p(y)$ .



### Le numérateur

**Hypothèses** :  $K$  noyau borné à support borné et  $w_j = w_1 j^{-\beta}$ .

On montre que, lorsque  $0 < 8\beta d < 1$ ,

$$\hat{h}_n(x, y) = \frac{1}{n} \sum_{j=1}^{n+1} \frac{1}{w_j^{2d}} K\left(\frac{Z_j^- - x}{w_j^d}\right) K\left(\frac{Z_j - y}{w_j^d}\right) \xrightarrow{p.s.} h(x, y).$$

Clés : contrôle des covariances d'une chaîne de Markov, passage à la convergence presque sûre par le lemme de Van Ryzin.



### Le numérateur

**Hypothèses** :  $K$  noyau borné à support borné et  $w_j = w_1 j^{-\beta}$ .

On montre que, lorsque  $0 < 8\beta d < 1$ ,

$$\hat{h}_n(x, y) = \frac{1}{n} \sum_{j=1}^{n+1} \frac{1}{w_j^{2d}} K\left(\frac{Z_j^- - x}{w_j^d}\right) K\left(\frac{Z_j - y}{w_j^d}\right) \xrightarrow{p.s.} h(x, y).$$

Clés : contrôle des covariances d'une chaîne de Markov, passage à la convergence presque sûre par le lemme de Van Ryzin.

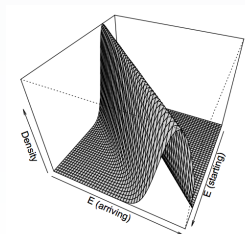
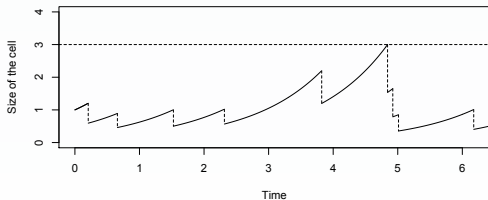
### Finalement...

Lorsque  $0 < \alpha d < 1$  et  $0 < 8\beta d < 1$ , si  $p(x) > 0$ ,

$$\hat{q}_n(x, y) \xrightarrow{p.s.} q(x, y).$$



# Évolution de la taille d'une cellule au cours du temps

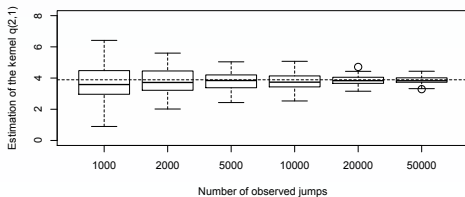
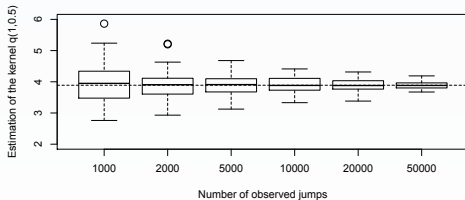




## 2 – Estimation du noyau de transition d'un PDMP

### Simulations

$$\alpha = 0.125 \text{ et } \beta = 0.1$$

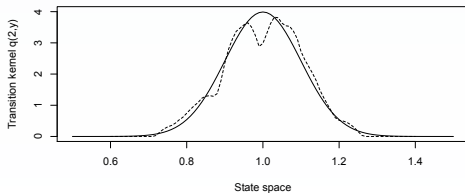
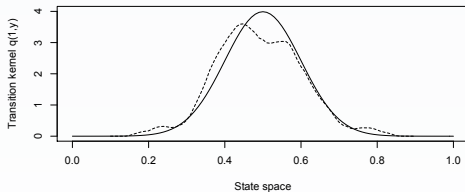




## 2 – Estimation du noyau de transition d'un PDMP

### Simulations

$\alpha = 0.125$ ,  $\beta = 0.1$  et  $n = 5000$

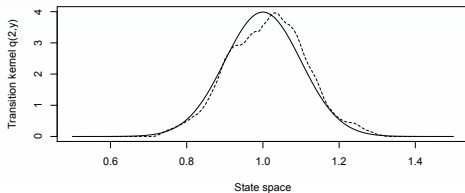
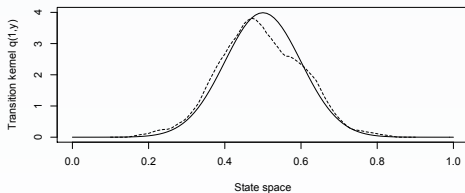




## 2 – Estimation du noyau de transition d'un PDMP

### Simulations

$\alpha = 0.125$ ,  $\beta = 0.1$  et  $n = 10\,000$

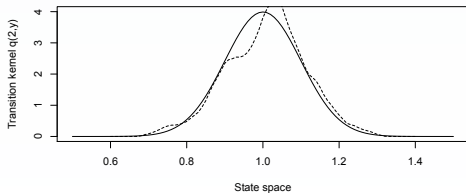
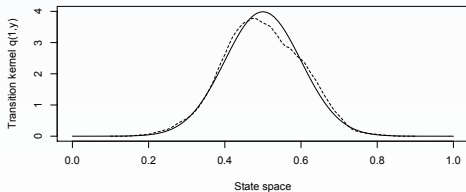




## 2 – Estimation du noyau de transition d'un PDMP

### Simulations

$\alpha = 0.125$ ,  $\beta = 0.1$  et  $n = 20\,000$



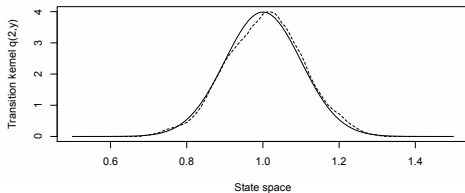
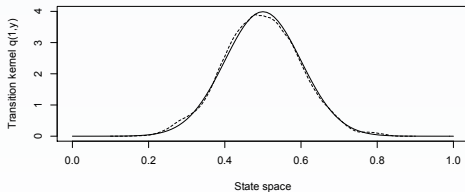




## 2 – Estimation du noyau de transition d'un PDMP

### Simulations

$\alpha = 0.125$ ,  $\beta = 0.1$  et  $n = 50\,000$



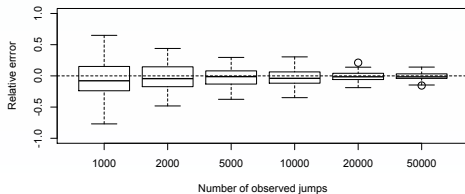
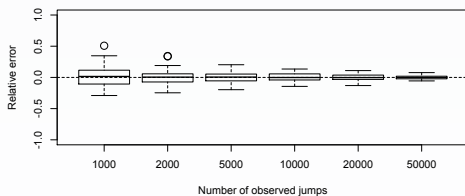


## 2 – Estimation du noyau de transition d'un PDMP

### Simulations

$\alpha = 0.125$  et  $\beta = 0.1$

### Erreurs relatives dans l'estimation de $q(x, y)$



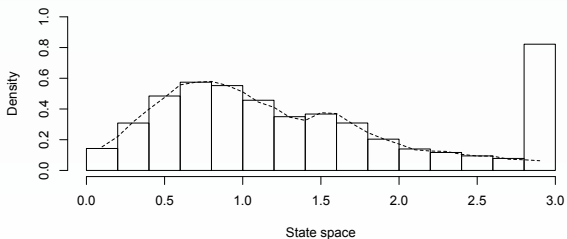


## 2 – Estimation du noyau de transition d'un PDMP

Simulations

$\alpha = 0.125$ ,  $\beta = 0.1$  et  $n = 50\,000$

Estimation de la densité invariante  $p$  de  $(Z_n^-)$





## Plan de la soutenance

- 0 Introduction
- 1 Estimation de la loi des temps inter-sauts d'un PDMP
- 2 Estimation récursive du noyau de transition d'un PDMP
- 3 **Conclusion et perspectives**



## Estimation de la loi des temps inter-sauts

- Estimation non paramétrique et espace d'état très général.
- Ne nécessite pas de connaître la dynamique déterministe sous-jacente (seulement  $t^*$  ou une minoration judicieuse de  $t^*$ ).
- Convergence uniforme en probabilité sur tout compact.

### Perspectives

- Vitesse de convergence, normalité asymptotique. [▶ Compléments](#)
- Choix de la fenêtre de lissage. [▶ Compléments](#)
- Compromis entre les erreurs statistique et déterministe. [▶ Compléments](#)
- Estimation du taux  $\lambda$ .



### Estimation du noyau de transition

- Estimation non paramétrique récursive pour un PDMP défini sur  $\mathbb{R}^d$ .
- Convergence ponctuelle presque sûre.
- Nécessite la connaissance de  $\Phi_x(t)$  ou l'observation des  $Z_n^-$ .

### Perspectives

- Vitesse de convergence, normalité asymptotique. [▶ Compléments](#)
- Choix des paramètres  $\alpha$  et  $\beta$ . [▶ Compléments](#)
- Convergence uniforme.
- Alternative : estimation de la loi de  $Z_{n+1}$  sachant  $Z_n$  et  $S_{n+1}$ .



### 3 – Conclusion et perspectives

---

*Merci de votre attention!*



### Vitesse de convergence, normalité asymptotique

$$\widehat{L}_n(A, t) - L_n^*(A, t) = \widetilde{M}_A^{(n)}(t) + a_n(t),$$

avec

$$a_n(t) = \int_0^t Y_n(A, s)^+ \left[ \sum_{i=0}^{n-1} (\lambda(Z_i, s) - l(A, s)) \mathbb{1}_{\{Z_i \in A\}} \mathbb{1}_{\{S_{i+1} \geq s\}} \right] ds.$$





### Vitesse de convergence, normalité asymptotique

$$\widehat{L}_n(A, t) - L_n^*(A, t) = \widetilde{M}_A^{(n)}(t) + a_n(t),$$

avec

$$a_n(t) = \int_0^t Y_n(A, s)^+ \left[ \sum_{i=0}^{n-1} (\lambda(Z_i, s) - l(A, s)) \mathbb{1}_{\{Z_i \in A\}} \mathbb{1}_{\{S_{i+1} \geq s\}} \right] ds.$$

Si  $\sqrt{n} \left( Y_n(A, t)^+ \sum_{i=0}^{n-1} \lambda(Z_i, t) \mathbb{1}_{\{Z_i \in A\}} \mathbb{1}_{\{S_{i+1} \geq t\}} - l(A, t) \right) \xrightarrow{\mathbb{P}} 0$ , on

peut montrer que

$$\sqrt{n} \left( \widehat{L}_n(A, t) - L(A, t) \right) \xrightarrow{\mathcal{D}} \mathcal{N} \left( 0, \int_0^t \frac{l(A, s)}{\int_A G(z, s) \nu(dz)} ds \right).$$



### Choix de la fenêtre de lissage

Une fenêtre  $(b_n)$  adéquate doit satisfaire

$$b_n^{-1} \left( \widehat{L}_n(A, t) - L_n^*(A, t) \right) \xrightarrow{\mathbb{P}} 0.$$

Or,

$$\widehat{L}_n(A, t) - L_n^*(A, t) = \widetilde{M}_A^{(n)}(t) + a_n(t),$$

avec

$$a_n(t) = \int_0^t Y_n(A, s)^+ \left[ \sum_{i=0}^{n-1} (\lambda(Z_i, s) - l(A, s)) \mathbb{1}_{\{Z_i \in A\}} \mathbb{1}_{\{S_{i+1} \geq s\}} \right] ds.$$



### Compromis entre les erreurs statistique et déterministe

L'erreur d'estimation se décompose ainsi :

$$\widehat{L}_n(A, t) - \Lambda(x, t) = \underbrace{\widehat{L}_n(A, t) - L(A, t)}_{\text{erreur statistique}} + \underbrace{L(A, t) - \Lambda(x, t)}_{\text{erreur déterministe}}.$$

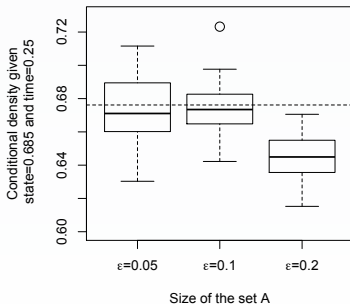
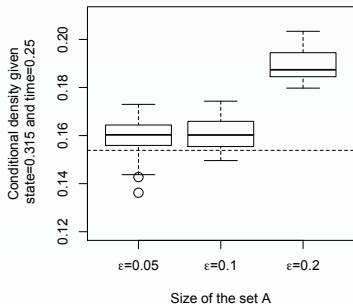
Lorsque  $A \nearrow$ ,

- l'erreur statistique  $\searrow$ ;
- l'erreur d'approximation  $\nearrow$  (linéaire en  $\text{diam } A$ ).



## Estimation de la loi des temps inter-sauts d'un PDMP

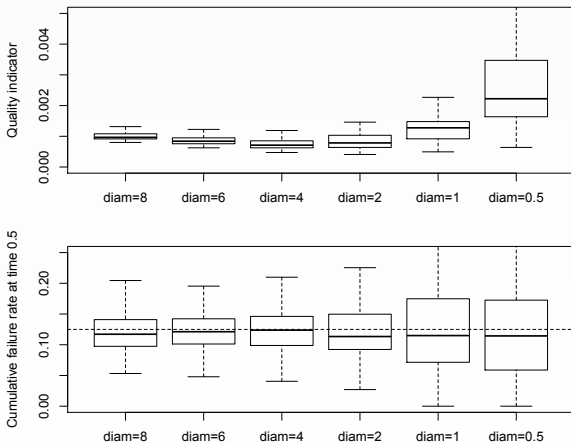
### Compromis entre les erreurs statistique et déterministe





## Estimation de la loi des temps inter-sauts d'un PDMP

### Compromis entre les erreurs statistique et déterministe





### Vitesse de convergence, normalité asymptotique

$$\begin{aligned} n^\gamma (\widehat{q}_n(x, y) - q(x, y)) \\ = \frac{n^\gamma}{\widehat{p}_n(x)} \left( \widehat{h}_n(x, y) - h(x, y) \right) + \frac{n^\gamma q(x, y)}{\widehat{p}_n(x)} (\widehat{p}_n(x) - p(x)) \end{aligned}$$

### Normalité asymptotique de $\widehat{p}_n(x)$

$$n^{(1-\alpha d)/2} (\widehat{p}_n(x) - p(x)) \xrightarrow{\mathcal{D}} \mathcal{N} \left( 0, \frac{\tau^2 p(x)}{1 + \alpha d} \right),$$

pour  $1/(2 + d) < \alpha < 1/d$ .

Clés : théorème central limite pour les martingales, hypothèse de type Lipschitz mixing.



### Vitesse de convergence, normalité asymptotique

$$n^{(1-\alpha d)/2} \left( \widehat{h}_n(x, y) - h(x, y) \right) \xrightarrow{p.s.} 0,$$

pour  $2(1 - \alpha d) < 4\beta < \min \left( \frac{1}{2d}, \alpha - \frac{1}{2d} \right)$ .



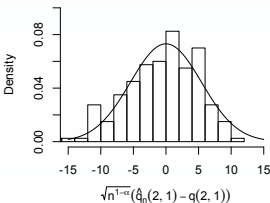
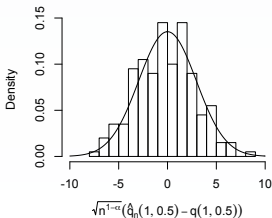
## Vitesse de convergence, normalité asymptotique

$$n^{(1-\alpha d)/2} \left( \widehat{h}_n(x, y) - h(x, y) \right) \xrightarrow{p.s.} 0,$$

pour  $2(1 - \alpha d) < 4\beta < \min \left( \frac{1}{2d}, \alpha - \frac{1}{2d} \right)$ .

### Normalité asymptotique de $\widehat{q}_n(x, y)$

$$n^{(1-\alpha d)/2} \left( \widehat{q}_n(x, y) - q(x, y) \right) \xrightarrow{\mathcal{D}} \mathcal{N} \left( 0, \frac{q(x, y)^2 \tau^2}{p(x)(1 + \alpha d)} \right)$$







## Estimation du noyau de transition d'un PDMP

Choix des paramètres  $\alpha$  et  $\beta$

$n = 10\,000$

